

RSC
Red Sismológica
del CICESE

RED SISMOLÓGICA DEL CICESE

Departamento de Sismología

*División de Ciencias de la Tierra
Centro de Investigación Científica y
de Educación Superior de Ensenada,
Baja California*

BOLETÍN DE INFORMACIÓN SÍSMICA

Julio 2020

Ensenada Baja - California, México



Responsables del contenido y edición

*M en C Luis H. Mendoza G.
Dr. J. Antonio Vidal V.
MTIC Julia del C. Sánchez R.
Téc. Ignacio Méndez F.
Téc. Francisco Javier Farfán S.
MTIC Sergio M. Arregui O.
M en C Alejandra Nuñez L.*

PERSONAL DE RESNOM

Investigadores

M. C. Luis Humberto Mendoza Garcilazo.
Dr. José Antonio Vidal Villegas



Grupo Técnico

Arregui Ojeda Sergio Manuel
Díaz de Cossio Batani Guillermo
Gálvez Valdez Jesús Óscar
Farfán Sánchez Francisco Javier
Luna Munguía Manuel
Méndez Figueroa Ignacio
Navarro Rodríguez Andrés
Núñez Leal María Alejandra
Orozco León Luis Raúl
Sánchez Rodríguez Julia del Carmen

1	INFORMACIÓN.....	1
2	OBJETIVO DEL BOLETÍN	5
3	ADQUISICIÓN Y PROCESAMIENTO	5
3.1	ADQUISICIÓN DE DATOS.....	5
3.2	PROCESAMIENTO DE LA INFORMACIÓN	5
3.2.1	Automático	5
3.2.2	Manual	6
3.3	MAGNITUD REPORTADA	7
3.4	CÁLCULO HIPOCENTRAL	8
4	RESUMEN.....	10
5	REFERENCIAS.....	11
6	DESCRIPCIÓN DE PARÁMETROS	12
7	Listado eventos julio 2020	13

Figura 1.- Estructura de la Red Sismológica de CICESE (RSC).	1
Figura 2.- Estaciones que se reciben en Tiempo Real.	2
Figura 3.- Procesamiento de señales recibidas	6
Figura 4.- Procesamiento Automático.	6
Figura 5.- Interfaz Jiggle.	7
Figura 6.- Sismicidad registrada en el mes de julio 2020.....	10

Tabla 1.- Estaciones que se reciben en Tiempo Real y Red a la cual pertenecen.	3
Tabla 2.- Modelos de Velocidades Sísmicas.....	9
Tabla 3.- Sismos registrados por la Red Sismológica del CICESE en el mes de julio 2020.....	10
Tabla 4.- Nomenclatura empleada en el resumen de los eventos localizados.	12

1 INFORMACIÓN

El CICESE ha operado diversas redes sísmicas durante más de cuatro décadas, siendo las redes una parte fundamental de la infraestructura del Departamento de Sismología. En el año 2015, la Red Sísmica del Noroeste de México (**RESNOM**), la Red de Acelerógrafos del Noroeste de México (**RANM**), la Red Sísmológica de Banda Ancha del Golfo de California (**RESBAN**), la Red Urbana Acelerométrica de Baja California (**RAUBC**) y la Red Sísmológica de la Paz (**RSPL**), se integran en una sola red, denominada Red Sísmológica del CICESE¹ (**RSC**). En la Figura 1, se aprecia el esquema de integración de la **RSC**.



Figura 1.- Estructura de la Red Sísmica de CICESE (RSC).

Con el fin de facilitar y mejorar la operación de la RSC, se conformó en el 2015 el Consejo Consultivo de Red Sísmológica del CICESE, como órgano de asesoría técnica, planeación estratégica y vinculación. A partir de julio de 2017, la RSC (Figura 1) está integrada por las siguientes redes: RESNOM, RESNOM-Movimientos Fuertes (antes RANM), RAUBC, RESBAN, RSLP y REGNOM (Red Geodésica del Noroeste de México).

La RSC detecta y registra en forma continua la actividad sísmica que ocurre en: Baja California, el noroeste de Sonora, el Golfo de California y Baja California Sur. A la fecha está integrada por 40 estaciones con sensores de aceleración y velocidad (banda ancha), 5 estaciones de banda ancha, 1 de banda intermedia, 61 estaciones con sensores de aceleración y 30 estaciones con GPS/GNSS. De las estaciones con sensores de banda ancha y aceleración que se tienen, 51 transmiten datos en Tiempo Real, a través de Internet satelital, módem-celular o servicio de Internet convencional, al Centro de Procesamiento de Datos ubicado en el Centro de Investigación Científica y de Educación Superior en Ensenada, Baja California (CICESE).

Los datos que se reciben de las estaciones de: a) la Red Sísmológica del CICESE, b) del Servicio Sísmológico Nacional y c) de la Red del Sur de California, se utilizan para realizar los procesos y con ello obtener el hipocentro y magnitud de los eventos en Tiempo Real que suceden en la cobertura de la Red (Figura 2 y Tabla 1).

¹ En el mes de julio de 2018, se cambia de Nombre la Red Sísmica de CICESE por Red Sísmológica del CICESE, al incluir la Red Geodésica del Noroeste de México.

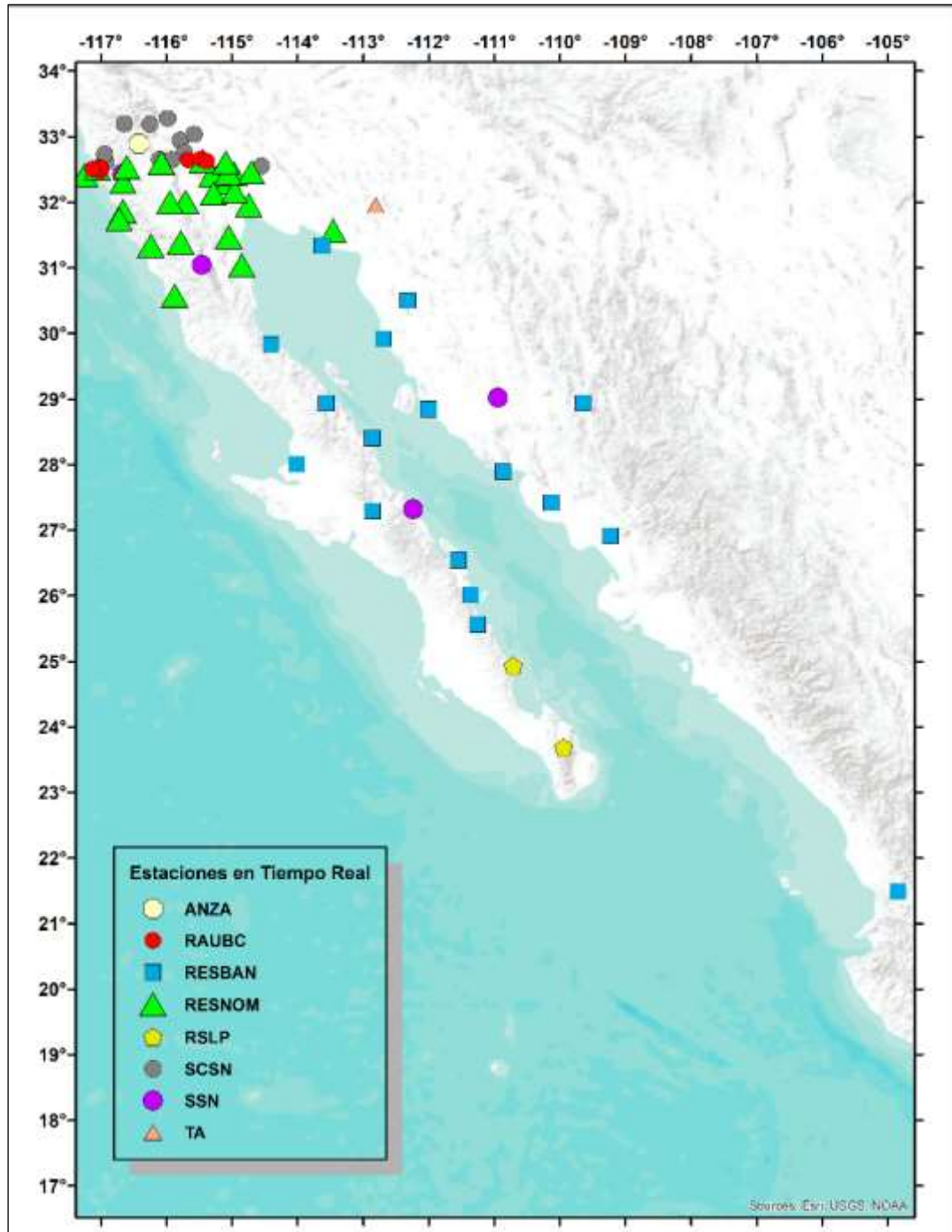


Figura 2.- Estaciones que se reciben en Tiempo Real.

Tabla 1.- Estaciones que se reciben en Tiempo Real y Red a la cual pertenecen.

No	ID	Latitud	Longitud	Elevación	RED	Ubicación	Municipio	Estado
1.	MONP2	32.8920	-116.4223	1875	ANZA	Monument Peak TA Vault ANZA	Mt. Laguna	CA
2.	AGUTJ	32.4784	-117.0060	229.7	RAUBC	Aguaje de la Tuna CESPT ²	Tijuana	BC
3.	CEAO	32.6518	-115.6690	17.3	RAUBC	Comisión Estatal del agua	Mexicali	BC
4.	DEPTJ	32.5100	-117.0540	211.1	RAUBC	Dirección de Protección Civil	Tijuana	BC
5.	HGTTJ	32.5260	-117.0090	1.6	RAUBC	Hospital General Tijuana	Tijuana	BC
6.	ICBC	32.6638	-115.4720	7.9	RAUBC	Instituto Cultural de Baja California	Mexicali	BC
7.	PLATJ	32.5056	-117.1230	27.9	RAUBC	Playas de Tijuana, Planta de bombeo	Tijuana	BC
8.	POT2	32.6278	-115.3850	11	RAUBC	Potabilizadora 2	Mexicali	BC
9.	BAHB	28.9430	-113.5610	35	RESBAN	Bahía de los Ángeles	Ensenada	BC
10.	BKIRB	28.85	-112.00	20	RESBAN	Bahía de Kino	Hermosillo	Sonora
11.	CDORB	27.4153	-110.1325		RESBAN	Cd. Obregón	Cd. Obregón	Sonora
12.	GUYB	27.8990	-110.8710	50	RESBAN	Guaymas	Guaymas	Sonora
13.	NAVRB	26.915	-109.230	183	RESBAN	Navojoa	Navojoa	Sonora
14.	NE74	28.0070	-114.0130	21	RESBAN	Guerrero Negro	Mulegé	BCS
15.	NE80	30.5000	-112.3190	225	RESBAN	Caborca	Caborca	Sonora
16.	NOVIRB	28.9410	-109.6440	287	RESBAN	El Novillo	San Pedro de la Cueva	Sonora
17.	PLIB	29.9150	-112.6940	40	RESBAN	Puerto Libertad	Pitiquito	Sonora
18.	PPXB	31.3350	-113.6230	10	RESBAN	Puerto Peñasco	Puerto Peñasco	Sonora
19.	SFQB	28.4050	-112.8610	50	RESBAN	San Francisquito	Ensenada	BC
20.	SLGB	29.8300	-114.4040	15	RESBAN	San Luis Gonzaga	Ensenada	BC
21.	SNIRB	26.5420	-111.5490	7	RESBAN	San Nicolás	Loreto	BCS
22.	TPICX	21.4839	-104.8490	923	RESBAN	Tepic	Tepic	Nayarit
23.	UAGRB	25.562	-11.257	299	RESBAN	Última Agua	Loreto	BCS
24.	AGSX	32.2658	-115.1606	0	RESNOM	Aguascalientes	Valle Mexicali	BC
25.	ALMAX	32.0076	-115.708	317	RESNOM	Rancho Alamar	Mexicali	BC
26.	CBX	32.3131	-116.6630	1238	RESNOM	Cerro Bola	Tijuana/Tecate	BC
27.	CCX	31.8680	-116.6640	40	RESNOM	CICESE	Ensenada	BC
28.	CHX	31.4721	-115.0520	40	RESNOM	El Chinero	Ensenada	BC
29.	CORX	32.4152	-117.2481	76	RESNOM	Isla Coronado	Tijuana	BC
30.	CPX	32.4170	-115.3040	194	RESNOM	Cerro Prieto	Mexicali	BC
31.	DOCX	31.9594	-114.7450	13	RESNOM	El Doctor	Mexicali	BC
32.	GUVIX	32.3029	-115.0760	10	RESNOM	Guadalupe Victoria	Mexicali	BC

² Comisión Estatal de Servicios Públicos de Tijuana

33.	JARAX	32.537	-115.581	11	RESNOM	Heriberto Jara	Mexicali	BC
34.	PBX	31.7414	-116.7250	351	RESNOM	Cerro Punta Banda	Ensenada	BC
35.	PESCX	32.4330	-114.9640	14	RESNOM	Pescaderos	Mexicali	BC
36.	PIX	31.5629	-113.4600	79.0	RESNOM	Pinacate	Puerto Peñasco	Sonora
37.	RHX	32.1350	-115.2840	8.0	RESNOM	Rio Hardy	Mexicali	BC
38.	RITX	32.1659	-114.9610	15.0	RESNOM	Riito	San Luis Río Colorado	Sonora
39.	RMX	32.6020	-116.0780	1290.0	RESNOM	Rumorosa	Mexicali	BC
40.	SFX	31.0376	-114.8510	36.0	RESNOM	San Felipe	Mexicali	BC
41.	SJX	32.0048	-115.9480	1618.0	RESNOM	Sierra Juárez	Mexicali	BC
42.	SLRCX	32.4585	-114.7060	47.0	RESNOM	San Luis Río Colorado	San Luis Río Colorado	Sonora
43.	SQX	30.5762	-115.8760	105.0	RESNOM	San Quintín	Ensenada	BC
44.	SV2X	31.3398	-116.2384	135	RESNOM	San Vicente	Ensenada	BC
45.	TJX	32.5102	-117.0540	223.0	RESNOM	Tijuana	Tijuana	BC
46.	TKX	32.5387	-116.6070	549.0	RESNOM	Tecate	Tecate	BC
47.	TLX	32.4480	-115.0590	11.0	RESNOM	Tlaxcala	Mexicali	BC
48.	UABX	32.6316	-115.4500	44.0	RESNOM	Ingeniería UABC	Mexicali	BC
49.	VTX	31.3914	-115.7840	750.0	RESNOM	Valle de la Trinidad	Ensenada	BC
50.	YUCAX	32.6054	-115.0940	23.0	RESNOM	Ejido Yucatán	Mexicali	BC
51.	EVARO	24.9274	-110.7119	17	RSLP	San Evaristo	La Paz	BCS
52.	SLBS	23.6858	-109.944	843	RSLP	Sierra la Laguna	La Paz	BCS
53.	BAR	32.6801	-116.6722		SCSN	Barrret,	San Diego	CA
54.	DRE	32.8053	-115.4468	-13	SCSN	Desert Research Extended Center	Holtville	CA
55.	EML	33.0515	-114.827	161	SCSN	Lakside, El Monte Co Park	El Cajon	CA
56.	EMS	32.7392	-114.9852	11	SCSN	East Mesa	San Diego	CA
57.	GLA	33.0515	-114.827	610	SCSN	Glamis, Black Mountain Rd.	Glamis	CA
58.	IKP	32.6501	-116.1095	906	SCSN	In-Ko-Pah	Jacumba	CA
59.	MTG	33.1991	-116.6472	1092	SCSN	Mataguay Scout Camp	San Diego	CA
60.	OLP	32.6077	-116.9301	159	SCSN	Otay Lakes Park	Chula Vista	CA
61.	SAL	33.2801	-115.9850	14	SCSN	Salton City	Salton City	CA
62.	SDR	32.7350	-116.9424	113	SCSN	San Diego Road	El Cajon	CA
63.	SLH	33.1926	-116.2539	208	SCSN	Sleepy Hollow	City of Chino	CA
64.	SWS	32.9451	-115.7900	140	SCSN	Sam W Stewart	Wessmorland	CA
65.	WES	32.7590	-115.731	-8	SCSN	Westside Elementary School	Seeley	CA
66.	WMD	33.0382	-115.5819	-45	SCSN	Westmorland	Imperial	CA
67.	YMD	32.5539	-114.5535	39	SCSN	Yuma Desert	Salton	AZ
68.	YUH2	32.6475	-115.9222	184	SCSN	Yuha Desert	Imperial Valley	CA

69.	HSIG	29.0197	-110.9492	257	SSN	Hermosillo	Hermosillo	Sonora
70.	MBIG	32.4071	-115.1981	13	SSN	Mexicali	Mexicali	BC
71.	SPIG	31.0459	-115.4660	2785	SSN	San Pedro Mártir	Ensenada	BC
72.	SRIG	27.3198	-112.2410	18	SSN	Santa Rosalía	Santa Rosalía	BCS
73.	TJIG	32.43337	-116.6762	317	SSN	Tijuana	Tijuana	BC
74.	214A	31.9559	-112.8115	543	TA	Organ Pipe National Monument	Condado de Pima	AZ

2 OBJETIVO DEL BOLETÍN

El Boletín de Información Sísmica difundido por RESNOM, tiene como objetivo de presentar los resultados de la recepción en tiempo real y del procesado de las señales sísmicas, de eventos registrados por la red. Estas señales corresponden a temblores ocurridos en el norte de Baja California, el noroeste de Sonora, el Golfo de California, así como en la región sur de Baja California Sur.

El boletín consiste en un listado de tiempos de origen, localizaciones hipocentrales, magnitud y algunos parámetros relativos a la localización de los sismos registrados (error cuadrático medio de los residuales de tiempo y número de lecturas utilizadas en la localización). Adicionalmente, se anexan mapas que muestra la distribución epicentral de los sismos localizados.

3 ADQUISICIÓN Y PROCESAMIENTO

- Adquisición de datos.
- Procesamiento de la Información
- Magnitudes reportadas
- Cálculo Hipocentral

3.1 ADQUISICIÓN DE DATOS

Las señales digitalizadas se transmiten de forma continua al CICESE utilizando Internet convencional, módem-celular, Internet satelital y en algunas se utiliza el sistema radio-Internet. La información de los eventos sísmicos y de vibración ambiental (continuo) se encuentran almacenadas en Bases de Datos.

3.2 PROCESAMIENTO DE LA INFORMACIÓN

El procesamiento de la información (Figura 3) se divide de la siguiente forma:

3.2.1 Automático

Tras el arribo de las señales sísmicas al centro de procesamiento de RESNOM (Figura 4), se analizan y procesan a través del sistema AQMS [6]/Earthworm [9] el cual consiste en: detección automática de sismos, cálculo de tiempos de arribo, localización de hipocentros y cálculo de magnitudes (basados en los programas: Hypoinverse[4], Binder y localmag). Además, se utilizan los acelerogramas para determinar las aceleraciones máximas de los sismos con magnitudes mayores a 3.5, con las cuales se generan mapas de intensidades.

Estos datos obtenidos son preliminares y sirven para proporcionar una primera información acerca del evento.

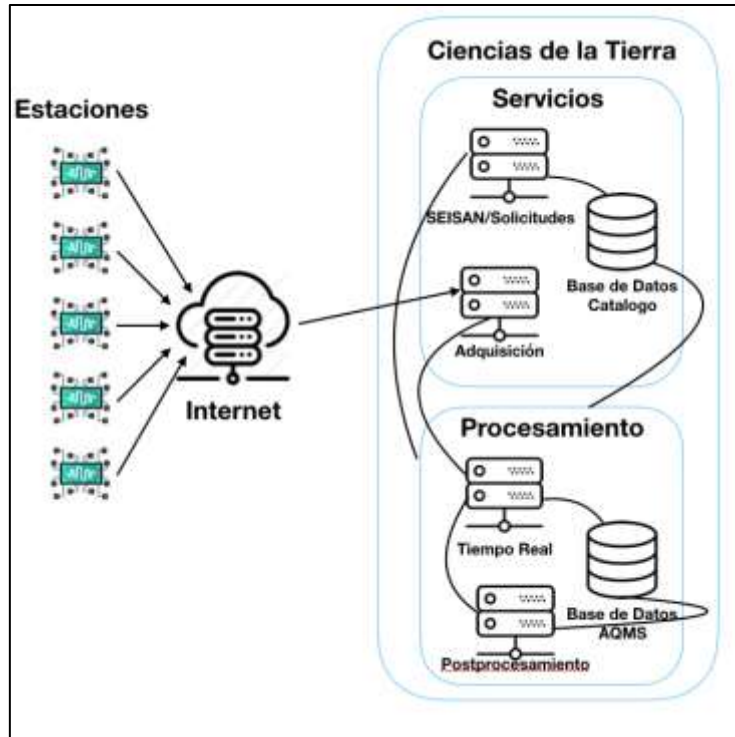


Figura 3.- Procesamiento de señales recibidas

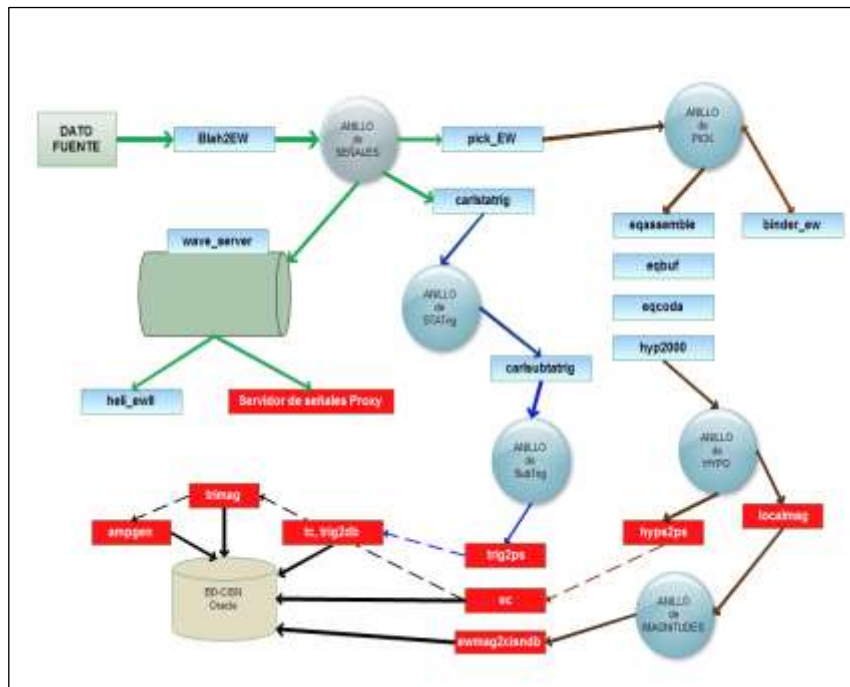


Figura 4.- Procesamiento Automático.

3.2.2 Manual

Posteriormente, en la etapa de postprocesamiento la información es revisada detalladamente por los analistas mediante los programas: SEISAN [3] y Jiggle [5] (Figura 5). Durante este proceso

se obtienen localizaciones hipocentrales y magnitudes más precisas, ya que además de ser revisado por un analista, se tiene más información para procesar.

- a. SEISAN –
Se realiza el postprocesamiento de los eventos registrados y se almacena en la base de datos de SEISAN.
- b. JIGGLE –

Mediante esta interfaz se postprocesan los eventos, el resultado de este trabajo va a actualizar la base de datos ORACLE de AQMS.

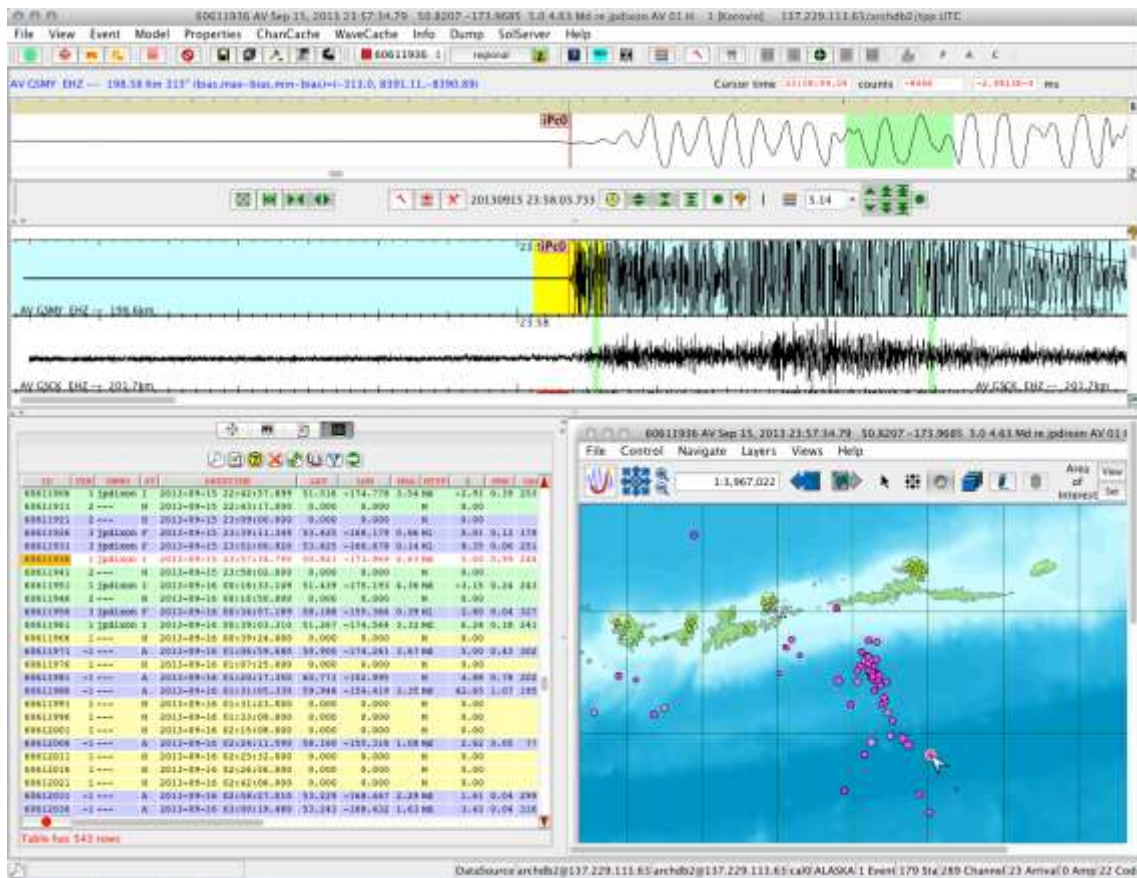


Figura 5.- Interfaz Jiggle.

3.3 MAGNITUD REPORTADA

La magnitud es un valor único y es una medida cuantitativa del sismo relacionada con la energía sísmica liberada. Para su determinación han sido creadas diferentes escalas, dependiendo del tipo de onda en el que se base la medición.

La Magnitud Local es la que reporta en este boletín.

- **Magnitud Local (ML)** – Es definida con base en la fórmula que Charles Richter formuló en 1935, para sismos locales en California. Se adecua la fórmula para la zona en la que se presenta el sismo (Vidal y Munguía, 1999) [10].

$$Ml = \log_{10}(amp) + 1.132 \log_{10}(dist) + 0.0017(dist) - 2.11$$

dist – distancia hipocentral en km.

amp – amplitud.

3.4 CÁLCULO HIPOCENTRAL

Para el cálculo de la localización hipocentral se realiza en su forma automática mediante el programa denominado Earthworm[9] el cual hace uso del programa Hypoinverse [4]

Tabla 2.– Modelos de Velocidades Sísmicas.

Modelo de Velocidades Sísmicas									
<u>Macizo Rcoso</u>		<u>Valle de Mexicali</u>		<u>Bahía</u>		<u>Golfo Centro</u>		<u>Golfo Sur</u>	
[7]		[1]		[8]		[8]		[8]	
Profundidad <i>km</i>	Velocidad <i>km/s</i>	Profundidad <i>km</i>	Velocidad <i>km/s</i>	Profundidad <i>km</i>	Velocidad <i>km/s</i>	Profundidad <i>km/s</i>	Velocidad <i>km/s</i>	Profundidad <i>km</i>	Velocidad <i>km/s</i>
0.0 – 5.0	5.6	0.0 – 0.1	1.7	0.0	1.96	0.0	5.0	0.0	4.0
5.0 – 19.8	6.6	0.10 – 0.73	2.0	2.0	4.60	4.0	6.0	2.0	6.0
19.8 – 41.8	7.0	0.73 – 1.8	2.3	8.0	5.52	12.0	6.4	7.0	6.40
41.8 –	8.0	1.8 – 2.9	2.6	19.0	6.66	19.0	6.6	14.0	6.90
		2.9 – 5.6	3.0	24.0	7.90	26.0	6.8	24.0	7.60
		5.62 – 10.0	5.0	55.0	8.30			80.0	8.0
		10.0 – 20.0	6.1						
		20.0 – 30.0	7.8						
		30.0 –	8.0						

4 RESUMEN

Durante el mes de julio de 2020 la Red Sísmica del CICESE registró y procesó un total de 80 sismos dentro de un rango de $.1 \leq M < 7$, como se puede apreciar en la Figura 6 y Tabla 3.

Tabla 3.- Sismos registrados por la Red Sísmológica del CICESE en el mes de julio 2020.

Mes	n° Sismos	Magnitud					Observaciones
		M < 1	1 ≤ M < 3	3 ≤ M < 5	5 ≤ M < 7	M ≥ 7	
Julio	80	0	74	10	0	0	

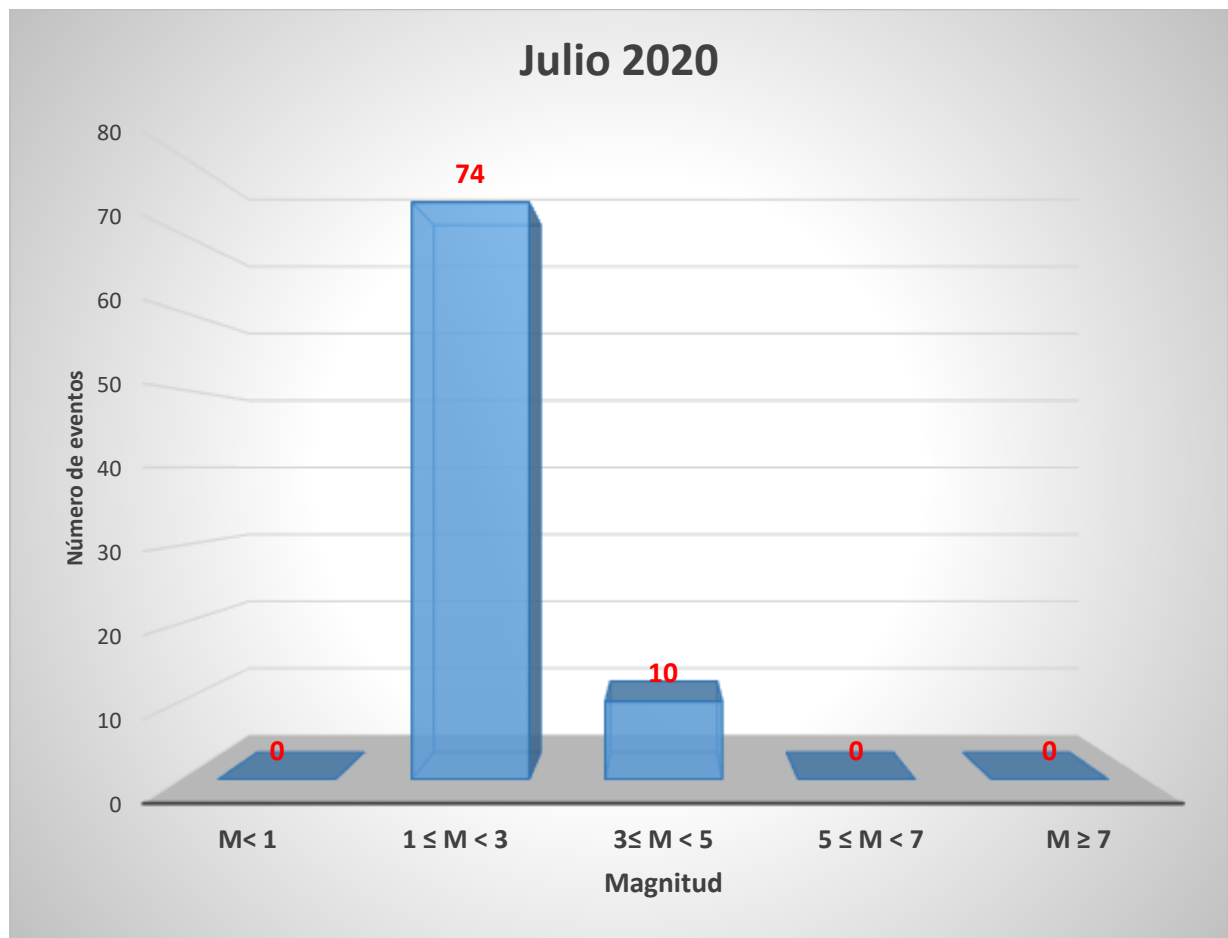


Figura 6.- Sismicidad registrada en el mes de julio 2020.

5 REFERENCIAS

[1]	Fabriol, H., y L. Munguía (1997). Seismic activity at the Cerro Prieto Geothermal area (México) from August 1994 to December 1995, and the relationship with tectonics and fluid exploitation, <i>Geophys. RES. Lett.</i> 24 , no. 14, 1807-1810, doi: 10.1029/97GL01669.
[2]	G. A., McMechan and W. D. Mooney. Asymptotic ray theory and synthetic seismograms for laterally varying structures: theory and application to the Imperial Valley, California, <i>Bull. Seism. Soc. Am.</i> , 70, 2021-2035, 1980
[3]	Havskov and Ottemoller, SeisAn Earthquake analysis software, <i>Seis. Res. Lett.</i> , 70, 1999. http://www.seismosoc.org/publications/SRL/SRL_70/srl_70-5_es.html
[4]	HYPOINVERSE-2000, a Fortran Program to Solve for Earthquake Locations and Magnitudes. Fred W. Kleim. U.S. Geological Survey (mantenimiento)
[5]	Jiggle is a Graphical User Interface (GUI) software application used to analyze earthquake waveform data and calculate accurate earthquake (event) parameters. Jiggle is part of the post-processing (PP) software suite in the ANSS Quake Monitoring System (AQMS). ANSS = Advanced National Seismic System.
[6]	J.Renate Hartog, Paul A. Friberg, Victor C. Kress, Paul Bodin, Rayomand Bhadha (). Open-Source ANSS Quake Monitoring System Software. <i>Seismological Research Letters</i> (2020) 91(2A):677-686. Last article https://doi.org/10.1785/0220190219
[7]	Nava, F. A., and J.N. Brune (1982). An earthquake-explosion reversed refraction line in the Peninsular Ranges of southern California and Baja California Norte, <i>Bull Seismol. Soc. Am.</i> 72 , no 4, 1195-1206.
[8]	Rebecca J. Dorsey (U. Oregon), Paul J. Umhoefer, Michael E. Oskin, and Ramon Arrowsmith. Rupturing Continental Lithosphere in the Gulf of California & Salton Trough. <i>GeoPRIMS Newsletter</i> , Issue no. 30, Spring 2013. (Golfo Centro)
[9]	S. B. Hellman, I. G. Dricker, S. Lisowski, P. A. Friberg. Earthworm – Sistema de Monitoeo sísmco modular de código abierto en tiempo real.
[10]	Vidal Villegas, J. A., & Munguía Orozco, L. (1999). The ML scale in northern Baja California, Mexico. <i>Bulletin of the Seismological Society of America</i> , 89(3), 750-763. (ID: 2916).

6 DESCRIPCIÓN DE PARÁMETROS

Tabla 4.- Nomenclatura empleada en el resumen de los eventos localizados.

Parámetros	Descripción
Fecha / Hora	Fecha (año, mes y día), Hora en UTC (Tiempo Universal Coordinado ³).
Latitud	Latitud del epicentro en grados decimales.
Longitud	Longitud del epicentro en grados decimales.
P	Profundidad focal en kilómetros.
n.º	Número de Estaciones utilizadas.
RMS (Root-Mean-Square)	<p>Error cuadrático medio de los residuales de tiempo en segundos</p> $\sqrt{\frac{1}{NO} \sum_{i=1}^{NO} Ri^2}$ <p>Donde Ri es el residual de tiempo de la i-ésima estación.</p>
GAP	Separación azimutal (en grados) más larga entre las Estaciones.
Errx	<p>Error estándar del epicentro en kilómetros</p> $\sqrt{SDX^2 + SDY^2}$ <p>Donde SDX y SDY son los errores estándar de la latitud y de la longitud. Si Errx es un espacio en blanco, significa que no existen suficientes datos para calcularlo</p>
Errh	Error estándar de la profundidad en kilómetros. Si Errh es un espacio en blanco, significa que no existen suficientes datos para calcularlo
Mag	Magnitud Local o Magnitud de Coda (<u>color azul</u>)
Ubicación	Distancia del poblado más cercano.

³ Para obtener la hora local restar 8 horas en invierno y 7 horas en verano

	Fecha	Latitud	Longitud	Prof	n.º	RMS	GAP	Errx	Errh	Mag	Ubicación
--	-------	---------	----------	------	-----	-----	-----	------	------	-----	-----------

7 Listado eventos julio 2020

1.	2020/07/01 02:56:23	32.485	-115.621	14	12	0.2	71	1.2	0.9	2.1	a 11.12 km al sur del poblado de Progreso
2.	2020/07/01 21:09:37	32.452	-115.615	9	12	0.3	92	2.8	2.5	1.9	a 14.53 km al sur del poblado de Progreso
3.	2020/07/02 07:20:33	30.354	-115.795	19	10	0.2	217	3.2	2.2	2.7	a 20.68 km al sureste del poblado de San Quintín
4.	2020/07/03 05:55:25	32.06	-116.346	6	6	0.1	127	0.8	1	1.2	a 19.04 km al norte del poblado de Ojos Negros
5.	2020/07/03 07:15:06	32.133	-115.207	11	10	0.3	87	1.9	1.7	1.9	a 11.07 km al sur del poblado de Dr. Alberto Oviedo Mota
6.	2020/07/03 18:16:37	32.726	-116.06	8	22	0.2	57	0.9	0.9	2.6	a 47.43 km al oeste del poblado de Progreso
7.	2020/07/04 09:56:44	32.868	-116.215	7	6	0.07	88	0	0.38	1.9	a 50.87 km al noreste de la ciudad de Tecate
8.	2020/07/04 14:45:45	32.6	-115.749	3	15	0.2	63	1	1.1	1.8	a 15.62 km al oeste del poblado de Progreso
9.	2020/07/04 14:55:37	32.598	-115.733	9	11	0.3	82	1.9	2.8	2	a 14.1 km al oeste del poblado de Progreso
10.	2020/07/05 01:22:25	32.396	-116.791	13	14	0.2	98	1	1.1	1.8	a 22.87 km al noreste del poblado de Primo Tapia
11.	2020/07/05 12:17:02	32.864	-116.22	5	12	0.16	81	0	0.35	3.3	a 50.22 km al noreste de la ciudad de Tecate
12.	2020/07/05 17:21:38	32.866	-116.217	2	10	0.08	82	0	0.33	2.1	a 50.62 km al noreste de la ciudad de Tecate
13.	2020/07/05 20:14:12	31.464	-115.558	4	6	0	178	1.3	0.8	2.2	a 19.83 km al noreste del poblado de Valle de la Trinidad
14.	2020/07/06 00:55:20	32.907	-116.271	5	5	0.16	93	0	0.54	2.1	a 50.28 km al noreste de la ciudad de Tecate
15.	2020/07/06 06:10:22	32.474	-115.626	2	10	0.2	86	1.1	1.1	1.5	a 12.43 km al sur del poblado de Progreso
16.	2020/07/06 10:06:12	32.232	-116.44	16	12	0.2	85	1.3	1	1.2	a 40.09 km al noroeste del poblado de Ojos Negros
17.	2020/07/07 05:26:17	32.694	-115.805	5	4	0.31	72	0	0.92	1.6	a 24.26 km al noroeste del poblado de Progreso
18.	2020/07/07 05:30:16	31.568	-115.705	5	7	0.1	91	0.8	0.5	1.7	a 22.55 km al norte del poblado de Valle de la Trinidad
19.	2020/07/07 11:01:35	31.16	-116.652	12	9	0	223	1.4	0.8	2.2	a 62.42 km al sur del poblado de Maneadero
20.	2020/07/08 03:25:26	31.571	-115.756	5	9	0.2	87	2.5	1.4	2	a 22.83 km al norte del poblado de Valle de la Trinidad
21.	2020/07/08 04:47:12	32.239	-116.424	5	14	0.1	81	0.8	0.8	1.8	a 40.26 km al norte del poblado de Ojos Negros
22.	2020/07/08 19:33:42	32.746	-116.891	0	5	0.17	199	0	0.89	1.4	a 29.07 km al norte de la ciudad de Tijuana
23.	2020/07/08 19:35:10	31.527	-115.689	5	10	0.4	94	2.3	1.9	2.1	a 18.32 km al norte del poblado de Valle de la Trinidad
24.	2020/07/09 03:10:17	32.539	-116.225	10	16	0.2	83	0.8	1.1	2.1	a 37.62 km al este de la ciudad de Tecate
25.	2020/07/09 05:23:29	32.652	-115.876	5	15	0.3	47	1.4	1.1	1.7	a 28.5 km al oeste del poblado de Progreso
26.	2020/07/09 07:19:56	31.835	-116.116	13	8	0.1	84	1.2	1.2	1.7	a 16.58 km al sureste del poblado de Ojos Negros
27.	2020/07/09 13:03:41	29.987	-115.896	12	8	0.2	248	3.5	2.5	2.7	a 55.43 km al sur del poblado de San Quintín
28.	2020/07/10 10:59:08	32.201	-115.144	9	8	0.3	116	1.9	2.9	1.6	a 3.83 km al sureste del poblado de Dr. Alberto Oviedo Mota
29.	2020/07/10 11:20:32	32.229	-115.146	13	11	0.3	75	1.7	1.7	1.9	a 2.26 km al este del poblado de Dr. Alberto Oviedo Mota
30.	2020/07/11 10:13:42	32.121	-116.344	12	10	0.1	132	1.1	1.1	1.8	a 25.44 km al norte del poblado de Ojos Negros
31.	2020/07/11 13:00:07	26.304	-110.687	15	5	0.2	150	3.5	3.8	3.1	a 144.06 km al sureste del poblado de Mulegé
32.	2020/07/11 13:23:51	30.673	-114.209	6	11	0.2	96	1.3	1.1	3.1	a 72.58 km al sureste del poblado de San Felipe

	Fecha	Latitud	Longitud	Prof	n.º	RMS	GAP	Errx	Errh	Mag	Ubicación
33.	2020/07/11 13:44:24	30.741	-114.219	0	9	0.3	92	2	1.6	2.8	a 68.22 km al sureste del poblado de San Felipe
34.	2020/07/11 16:26:58	30.807	-115.37	12	10	0.1	136	2.4	1	2.6	a 52.57 km al suroeste del poblado de San Felipe
35.	2020/07/12 09:22:06	27.985	-112.075	13	8	0.2	79	2.3	1.3	3.2	a 74.14 km al norte del poblado de Santa Rosalía
36.	2020/07/13 05:58:57	31.569	-115.715	5	6	0.1	187	2.2	0.6	1.4	a 22.57 km al norte del poblado de Valle de la Trinidad
37.	2020/07/13 17:28:10	32.111	-116.204	5	11	0.1	67	1	0.9	1.6	a 24.37 km al norte del poblado de Ojos Negros
38.	2020/07/13 17:28:48	31.916	-116.068	17	4	0.2	235	3.5	4.3	1.3	a 19.53 km al este del poblado de Ojos Negros
39.	2020/07/14 21:44:30	30.786	-114.356	15	6	0	134	2.3	1.7	2.6	a 54.25 km al sureste del poblado de San Felipe
40.	2020/07/15 03:21:42	27.561	-111.59	21	5	0.1	185	2.4	3.2	2.9	a 71.25 km al este del poblado de Santa Rosalía
41.	2020/07/15 07:13:24	31.281	-115.709	10	6	0.1	121	1.2	0.9	1.5	a 9.79 km al sur del poblado de Valle de la Trinidad
42.	2020/07/15 08:34:21	31.245	-115.399	5	8	0.2	159	1.2	1.2	2.5	a 34.49 km al este del poblado de Valle de la Trinidad
43.	2020/07/15 12:30:00	30.398	-114.348	10	9	0.1	99	2.3	1.1	2.8	a 83.32 km al sureste del poblado de San Felipe
44.	2020/07/16 01:14:41	32.126	-116.651	13	8	0.2	167	2.2	1.4	1.7	a 25.31 km al norte del poblado de El Sauzal
45.	2020/07/16 16:36:31	32.607	-115.291	20	17	0.2	89	1.5	1.7	2.1	a 7.5 km al noreste del poblado de Puebla
46.	2020/07/17 15:47:54	32.138	-115.23	6	10	0.2	85	1.5	1.6	2	a 11.44 km al suroeste del poblado de Dr. Alberto Oviedo Mota
47.	2020/07/17 18:24:48	32.09	-116.368	20	9	0.2	118	1.1	1	1.8	a 22.91 km al noroeste del poblado de Ojos Negros
48.	2020/07/19 04:23:44	32.482	-115.58	5	10	0.6	108	3	2.5	1.7	a 10.9 km al sur del poblado de Progreso
49.	2020/07/19 07:14:20	32.676	-115.752	5	13	0.4	81	1.6	2.8	1.7	a 19.01 km al noroeste del poblado de Progreso
50.	2020/07/21 06:58:58	25.161	-109.728	24	5	0.2	170	4.3	2.5	3.3	a 87.28 km al suroeste de la ciudad de Los Mochis
51.	2020/07/21 09:16:08	32.927	-116.24	5	7	0.18	56	0	0.56	1.9	a 53.8 km al noreste de la ciudad de Tecate
52.	2020/07/21 16:01:24	32.289	-115.394	14	9	0.2	75	2.3	1.6	1.9	a 20.26 km al oeste del poblado de Delta
53.	2020/07/21 16:59:47	31.24	-115.441	3	14	0.2	226	4.7	1.6	2.7	a 31.11 km al sureste del poblado de Valle de la Trinidad
54.	2020/07/22 02:59:22	32.862	-116.022	0	13	0.2	93	1.7	1.2	1.8	a 51.59 km al noroeste del poblado de Progreso
55.	2020/07/22 09:05:37	32.228	-115.268	9	21	0.3	63	1.6	1.4	2.9	a 9.22 km al oeste del poblado de Dr. Alberto Oviedo Mota
56.	2020/07/22 14:35:30	32.71	-115.538	15	14	0.2	148	1.6	1.9	1.7	a 12.06 km al noroeste de la ciudad de Mexicali
57.	2020/07/23 08:57:21	28.058	-112.171	10	8	0.2	84	2	1.1	3.2	a 80.35 km al norte del poblado de Santa Rosalía
58.	2020/07/23 09:01:03	28.039	-112.235	19	5	0.1	132	1.6	1.1	2.2	a 77.73 km al norte del poblado de Santa Rosalía
59.	2020/07/23 10:17:02	32.863	-116.046	0	20	0.4	59	2	1.9	2.5	a 53.46 km al noroeste del poblado de Progreso
60.	2020/07/23 22:57:34	31.837	-114.704	20	9	0.3	120	2.7	3.2	2.5	a 48.62 km al sureste del poblado de Estación Coahuila
61.	2020/07/24 05:19:07	27.978	-112.029	5	9	0.2	92	2	1.3	3.8	a 74.69 km al norte del poblado de Santa Rosalía
62.	2020/07/24 11:11:08	31.628	-115.591	5	8	0.3	123	1.9	1.3	1.6	a 32.03 km al noreste del poblado de Valle de la Trinidad
63.	2020/07/24 12:02:55	32.156	-116.674	11	12	0.2	112	2.9	1.7	1.2	a 23.95 km al este del poblado de Primo Tapia
64.	2020/07/24 12:03:17	32.157	-116.678	10	9	0.3	133	4.4	2.2	1.2	a 23.56 km al este del poblado de Primo Tapia

	Fecha	Latitud	Longitud	Prof	n.º	RMS	GAP	Errx	Errh	Mag	Ubicación
65.	2020/07/24 13:37:19	31.934	-116.234	5	9	0.2	165	2.6	2.8	1.1	a 5.34 km al noreste del poblado de Ojos Negros
66.	2020/07/24 15:54:18	31.103	-116.62	5	8	0.1	223	1.9	1.3	2	a 59.75 km al noroeste del poblado de Camalú
67.	2020/07/24 20:54:15	32.601	-116.976	0	4	0.14	139	0	0.6	1.1	a 11.26 km al norte de la ciudad de Tijuana
68.	2020/07/24 23:55:33	25.72	-110.126	3	6	0.6	141	9.5	6.1	2.9	a 104.77 km al oeste de la ciudad de Los Mochis
69.	2020/07/25 12:01:47	31.275	-115.72	9	15	0.1	120	1.3	0.9	3.3	a 10.26 km al sur del poblado de Valle de la Trinidad
70.	2020/07/25 12:31:42	32.856	-116.202	6	4	0.11	138	0	1.1	1.2	a 50.94 km al noreste de la ciudad de Tecate
71.	2020/07/26 09:57:33	31.708	-115.969	5	6	0.1	150	1.5	0.7	1.2	a 35.87 km al sureste del poblado de Ojos Negros
72.	2020/07/26 21:57:08	32.348	-115.286	8	16	0.3	62	1.5	1.1	3	a 8.77 km al oeste del poblado de Delta
73.	2020/07/27 10:21:16	32.883	-115.534	9	6	0.12	135	0	0.66	1.3	a 29.35 km al norte de la ciudad de Mexicali
74.	2020/07/27 21:43:04	31.281	-115.714	10	10	0.2	120	1.2	1	3.5	a 9.69 km al sur del poblado de Valle de la Trinidad
75.	2020/07/28 05:52:32	32.597	-115.284	20	11	0.3	99	2.1	2	1.5	a 7.41 km al noreste del poblado de Puebla
76.	2020/07/28 08:40:04	32.959	-115.501	8	9	0.14	120	0	0.77	1.5	a 37.03 km al norte de la ciudad de Mexicali
77.	2020/07/28 10:33:56	32.126	-115.168	14	6	0.2	94	2	2.9	1.4	a 11.29 km al sur del poblado de Dr. Alberto Oviedo Mota
78.	2020/07/28 19:29:23	31.645	-116.235	5	6	0.1	103	1	0.9	1.5	a 28.59 km al sur del poblado de Ojos Negros
79.	2020/07/29 03:03:21	32.914	-115.73	5	11	0.12	107	0	0.47	1.5	a 39.6 km al norte del poblado de Progreso
80.	2020/07/29 04:25:56	31.222	-115.91	5	11	0.2	115	1.3	1.1	2.5	a 23.27 km al suroeste del poblado de Valle de la Trinidad
81.	2020/07/29 04:41:31	32.542	-116.22	11	9	0.2	133	1.4	1.2	1.3	a 38.06 km al este de la ciudad de Tecate
82.	2020/07/29 06:07:13	31.288	-115.732	12	6	0.2	118	2.1	1.2	1.3	a 8.74 km al sur del poblado de Valle de la Trinidad
83.	2020/07/29 10:39:23	31.621	-115.593	6	13	0.2	85	1	0.8	2.6	a 31.25 km al noreste del poblado de Valle de la Trinidad
84.	2020/07/31 06:01:35	32.339	-115.436	10	9	0.1	85	1.5	1.3	1.9	a 22.9 km al oeste del poblado de Delta

